

**Quesito 1 (Punti 5)**

Data la travatura reticolare mostrata nella Figura 1, determinare:

1. le reazioni vincolari
2. le forze agenti nelle aste

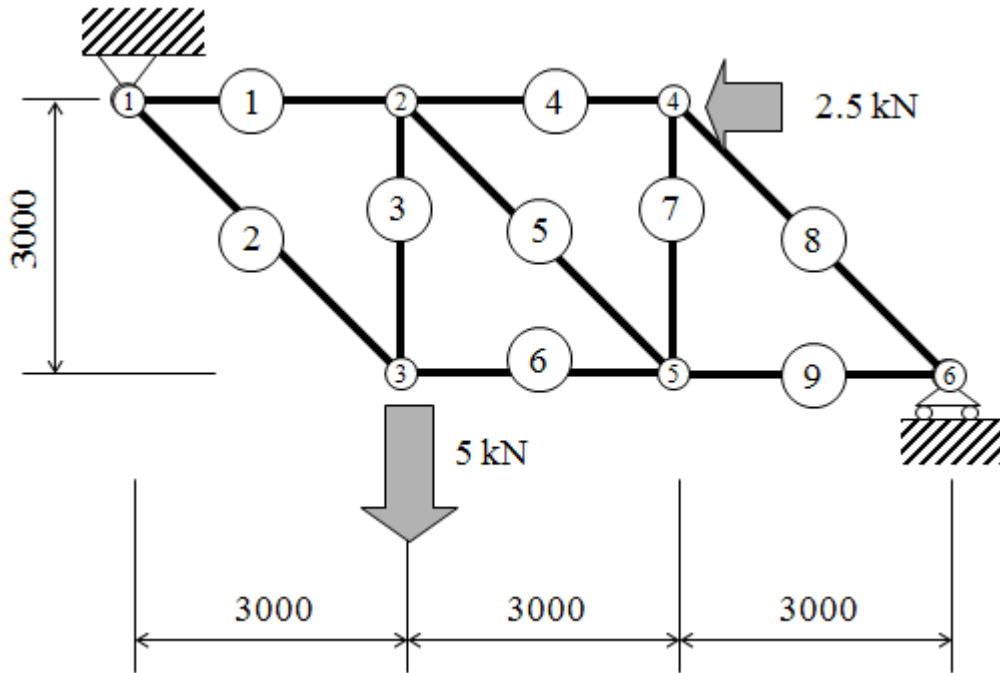


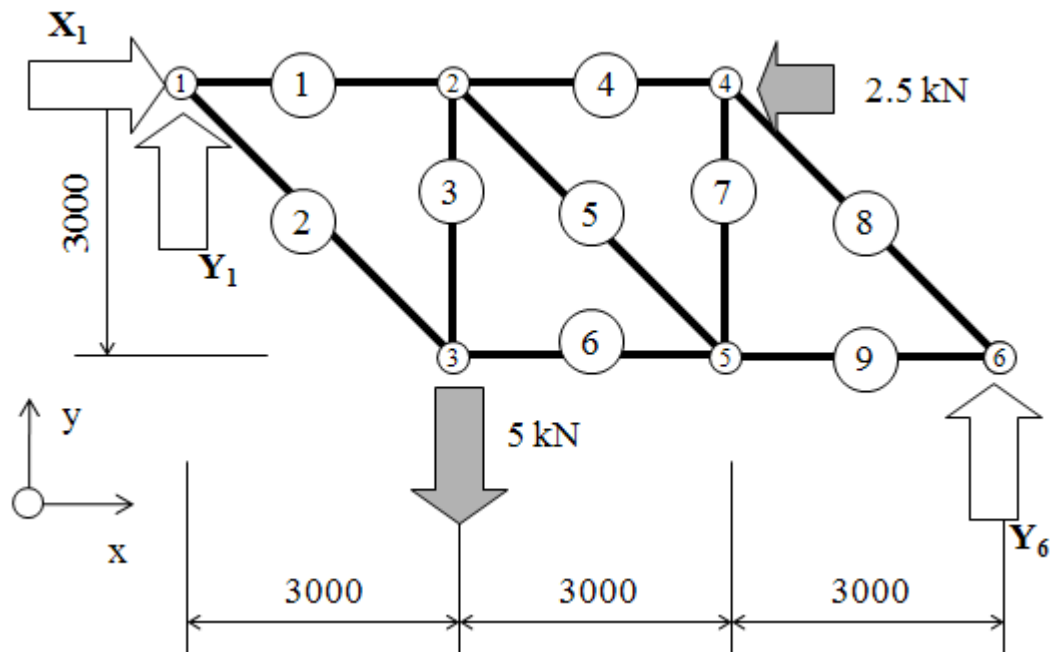
Fig. 1

## Svolgimento

### Calcolo delle reazioni vincolari

La struttura è esternamente isostatica.

Fissato un SR cartesiano ortogonale, si sostituiscono i vincoli con le 3 reazioni vincolari incognite, ottenendo il seguente diagramma di corpo libero:



$$Y_6 := 0 \quad X_1 := 0 \quad Y_1 := 0$$

#### Given

$$R_x = 0 \rightarrow X_1 - 2.5 = 0$$

$$R_y = 0 \rightarrow Y_1 + Y_6 - 5 = 0$$

$$MR_{x1} = 0 \rightarrow Y_6 \cdot 9000 - 5 \cdot 3000 = 0$$

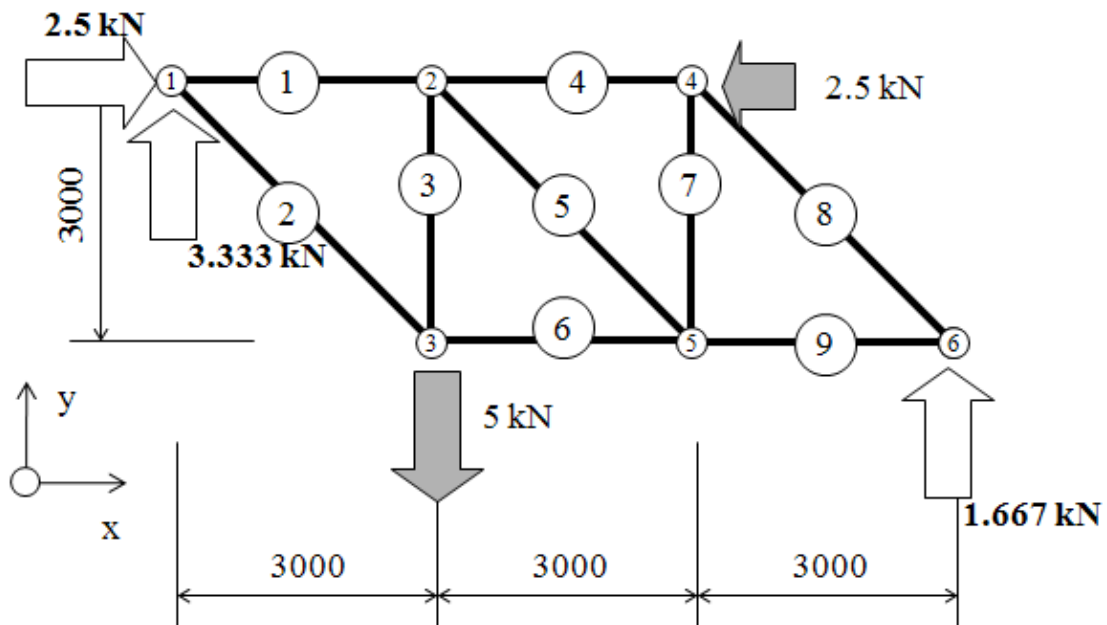
$$\begin{pmatrix} Y_6 \\ Y_1 \\ X_1 \end{pmatrix} := \text{Find}(Y_6, Y_1, X_1)$$

$$Y_6 = 1.667$$

$$Y_1 = 3.333$$

$$X_1 = 2.5$$

Si ottiene in tal modo il seguente diagramma finale di corpo libero con tutti i carichi esterni applicati alla struttura.



**Forze agenti nelle aste.**

Si procede alla soluzione utilizzando il metodo dei nodi.

Nodo 6

$$N_8 := 0$$

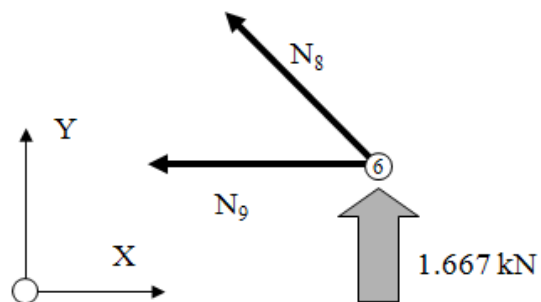
$$N_9 := 0$$

**Given**

$$R_x = 0 \rightarrow -N_9 - N_8 \cdot \frac{\sqrt{2}}{2} = 0$$

$$R_y = 0 \rightarrow N_8 \cdot \frac{\sqrt{2}}{2} + 1.667 = 0$$

$$\begin{pmatrix} N_8 \\ N_9 \end{pmatrix} := \text{Find}(N_8, N_9)$$



$$N_8 = -2.357$$

$$N_9 = 1.667$$

Nodo 4

$$N_4 := 0 \quad N_7 := 0$$

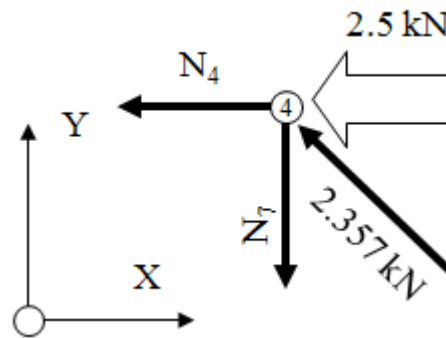
Given

$$R_x = 0 \rightarrow N_4 + 2.357 \cdot \frac{\sqrt{2}}{2} + 2.5 = 0$$

$$R_y = 0 \rightarrow 2.357 \cdot \frac{\sqrt{2}}{2} - N_7 = 0$$

$$\begin{pmatrix} N_4 \\ N_7 \end{pmatrix} := \text{Find}(N_4, N_7)$$

$$N_4 = -4.167 \quad N_7 = 1.667$$



Nodo 5

$$N_5 := 0 \quad N_6 := 0$$

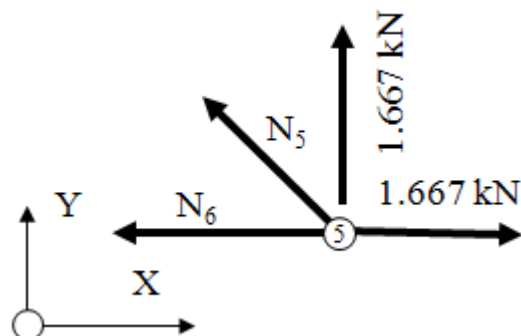
Given

$$R_x = 0 \rightarrow -N_6 - N_5 \cdot \frac{\sqrt{2}}{2} + 1.667 = 0$$

$$R_y = 0 \rightarrow N_5 \cdot \frac{\sqrt{2}}{2} + 1.667 = 0$$

$$\begin{pmatrix} N_5 \\ N_6 \end{pmatrix} := \text{Find}(N_5, N_6)$$

$$N_5 = -2.357 \quad N_6 = 3.334$$



Nodo 3

$$N_2 := 0 \quad N_3 := 0$$

Given

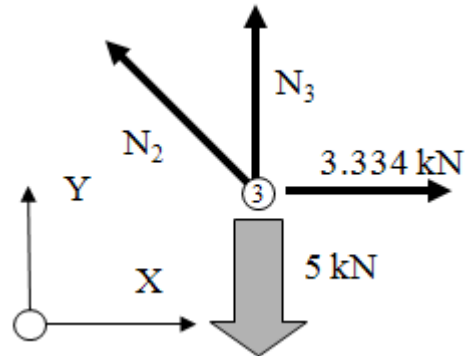
$$R_x = 0 \rightarrow -N_2 \cdot \frac{\sqrt{2}}{2} + 3.334 = 0$$

$$R_y = 0 \rightarrow N_2 \cdot \frac{\sqrt{2}}{2} - 5 + N_3 = 0$$

$$\begin{pmatrix} N_2 \\ N_3 \end{pmatrix} := \text{Find}(N_2, N_3)$$

$$N_2 = 4.715$$

$$N_3 = 1.666$$



Nodo 2

$$N_1 := 0$$

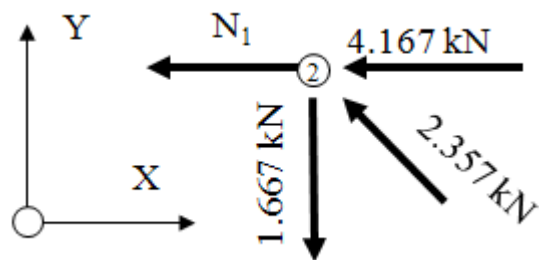
Given

$$R_x = 0 \rightarrow -N_1 - 2.357 \cdot \frac{\sqrt{2}}{2} - 4.167 = 0$$

$$R_y = 0 \rightarrow -1.667 + 2.357 \cdot \frac{\sqrt{2}}{2} = -0 \text{ OK}$$

$$N_1 := \text{Find}(N_1)$$

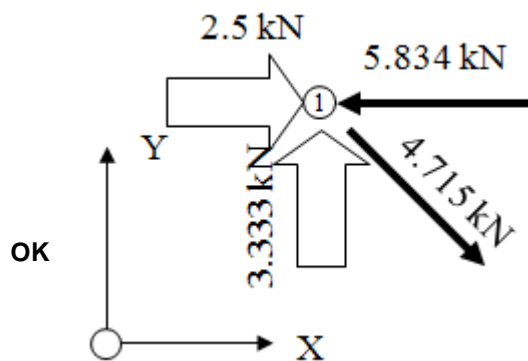
$$N_1 = -5.834$$



Nodo 1 - Verifica finale equilibrio

$$R_x = 0 \rightarrow 2.5 - 5.834 + 4.715 \cdot \frac{\sqrt{2}}{2} = 0$$

$$R_y = 0 \rightarrow 3.333 - 4.715 \cdot \frac{\sqrt{2}}{2} = -0$$



RIASSUNTO DEI RISULTATI

$$N_1 = -5.834$$

$$N_2 = 4.715$$

$$N_3 = 1.666$$

$$N_4 = -4.167$$

$$N_5 = -2.357$$

$$N_6 = 3.334$$

$$N_7 = 1.667$$

$$N_8 = -2.357$$

$$N_9 = 1.667$$

**Quesito 2a (Punti 16)**

Dato la struttura spaziale mostrata in Figura 2a.1 determinare:

1. il valore delle forze  $F_1$ ,  $F_2$  ed  $F_3$  richiesto per garantire l'equilibrio
2. l'andamento delle caratteristiche di sollecitazione nella struttura, scrivendone l'espressione analitica in funzione di una opportuna coordinata presa lungo la fibra baricentrica e tracciandone il diagramma.

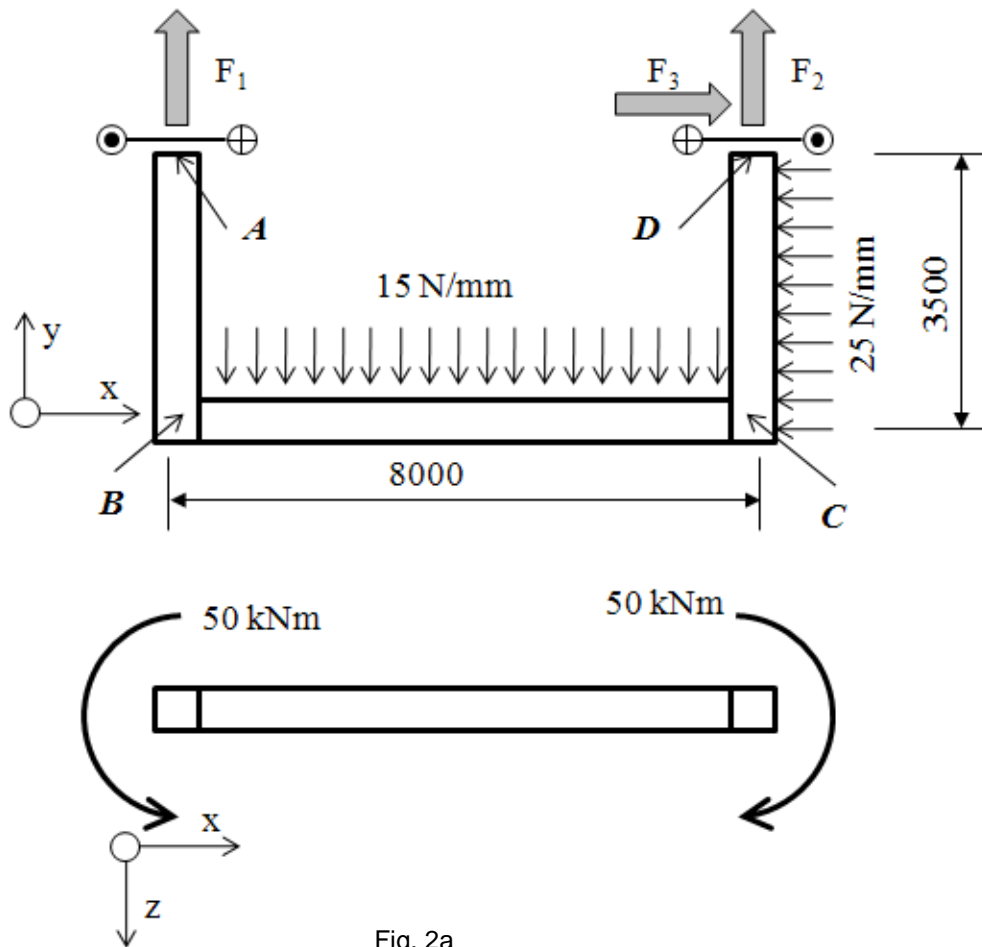


Fig. 2a

### Calcolo delle forze richieste

Fissato un SR cartesiano ortogonale, come nella Figura 2a, si osserva che le seguenti equazioni di equilibrio sono automaticamente soddisfatte:

- traslazione in direzione "z";
- rotazione attorno all'asse "x"

Dalle rimanenti Equazioni di equilibrio si ottiene (forze in kN, lunghezze in m, momenti calcolati rispetto al polo D)::

$$F_1 := 0 \cdot \text{kN} \quad F_2 := 0 \quad F_3 := 0$$

#### Given

$$R_x = 0 \text{ ---> } F_3 - 25 \cdot 3.5 = 0$$

$$R_y = 0 \text{ ---> } F_1 + F_2 - 15 \cdot 8 = 0$$

$$R_z = 0 \text{ ---> } \text{Verificata automaticamente}$$

$$MR_{xA} = 0 \text{ ---> } \text{Verificata automaticamente}$$

$$MR_{yA} = 0 \text{ ---> } 50 - 50 = 0$$

$$MR_{zA} = 0 \text{ ---> } -F_1 \cdot 8 + 15 \cdot 8 \cdot 4 - 25 \cdot 3.5 \cdot \frac{3.5}{2} = 0$$

$$\begin{pmatrix} F_1 \\ F_2 \\ F_3 \end{pmatrix} := \text{Find}(F_1, F_2, F_3)$$

Ottenendo i seguenti valori delle forze incognite (in kN):

$$F_1 = 40.859 \quad F_2 = 79.141 \quad F_3 = 87.5$$

Si ottiene in tal modo il seguente diagramma di corpo libero della trave, con tutte le forze esterne applicate.

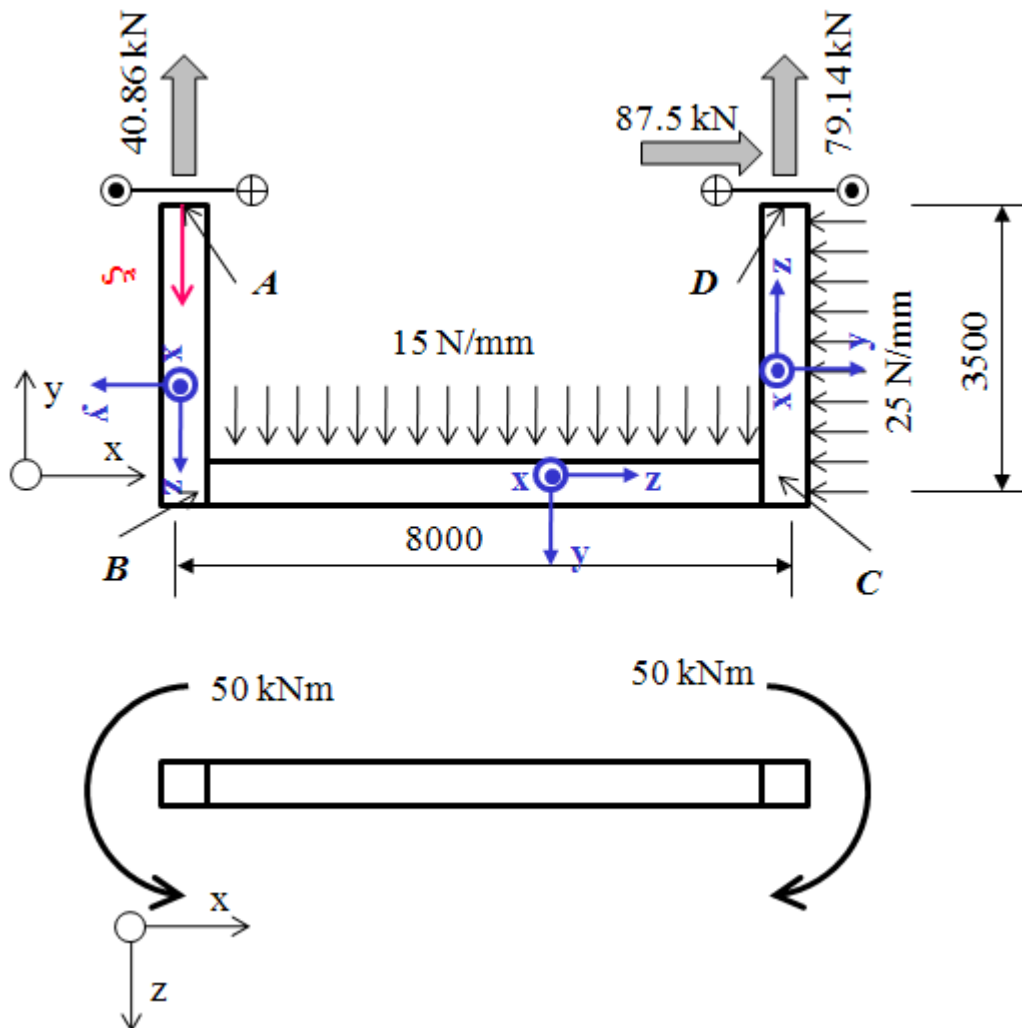


Fig. 2a1

### DIAGRAMMI CARATTERISTICHE DI SOLLECITAZIONE

Ai fini del tracciamento dei diagrammi delle caratteristiche di sollecitazione, si introduce la coordinata curvilinea  $\xi$  (origine nel punto A, termine nel punto D, valore compreso tra 0 e 15.00 m) e si fissa sulla generica sezione il sistema di riferimento locale x-y-z per il calcolo della caratteristiche di sollecitazione, la cui disposizione nei diversi tratti di trave è mostrata in figura 2a1.

Si noti che, per semplificare la rappresentazione, i diagrammi delle caratteristiche di sollecitazione sono stati rappresentati in forma lineare piana. Ai fini di una più semplice interpretazione, si noti che i punti significativi indicati sulla figura corrispondono ai seguenti valori della coordinata curvilinea  $\xi$ : Punto A ->  $\xi=0$ ; Punto B ->  $\xi=3.50$ ; Punto C ->  $\xi=11.50$ ; Punto D ->  $\xi=15.00$

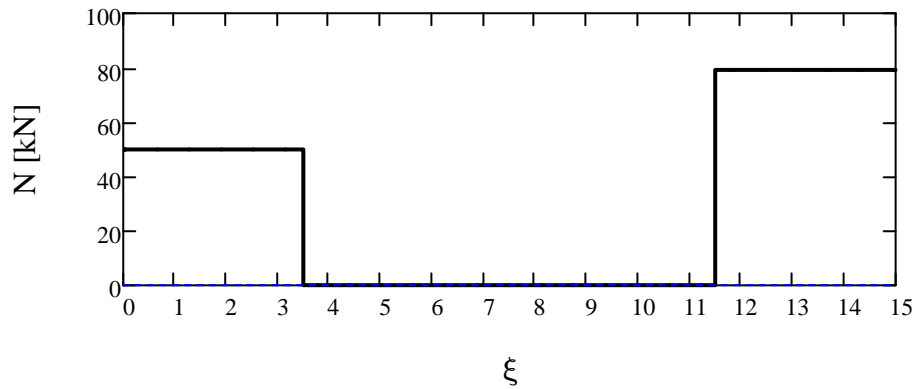


### Forza Normale [kN]

$\xi := 0, 0.001 \dots 15.0$

(questa variabile fittizia ha il solo scopo di far comparire sui diagrammi la linea corrispondente al valore 0)  
 $xx(\xi) := 0$

$$N(\xi) := \begin{cases} 49.86 & \text{if } 0 \leq \xi \leq 3.5 \\ 0 & \text{if } 3.5 \leq \xi \leq 11.5 \\ 79.14 & \text{otherwise} \end{cases}$$

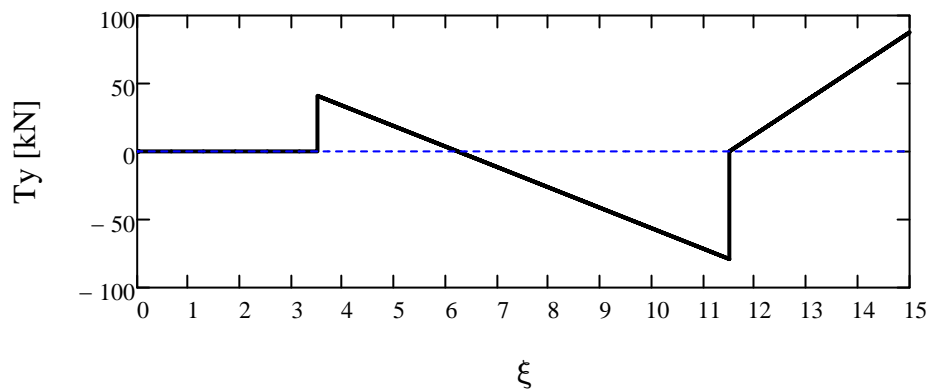


### Taglio $T_x$

Il taglio  $T_x$  è identicamente nullo.

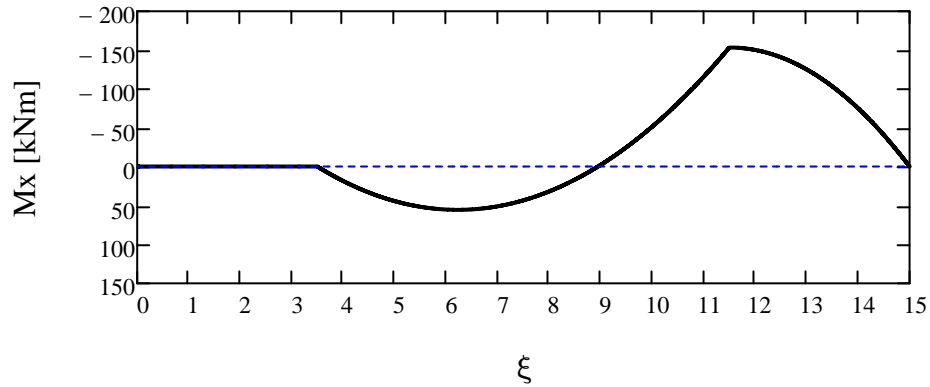
### Taglio $T_y$

$$T_y(\xi) := \begin{cases} 0 & \text{if } 0 \leq \xi \leq 3.5 \\ 15 \cdot (11.5 - \xi) - 79.14 & \text{if } 3.5 \leq \xi \leq 11.5 \\ [87.5 - 25 \cdot (15 - \xi)] & \text{if } 11.5 < \xi \leq 15 \\ 0 & \text{otherwise} \end{cases}$$



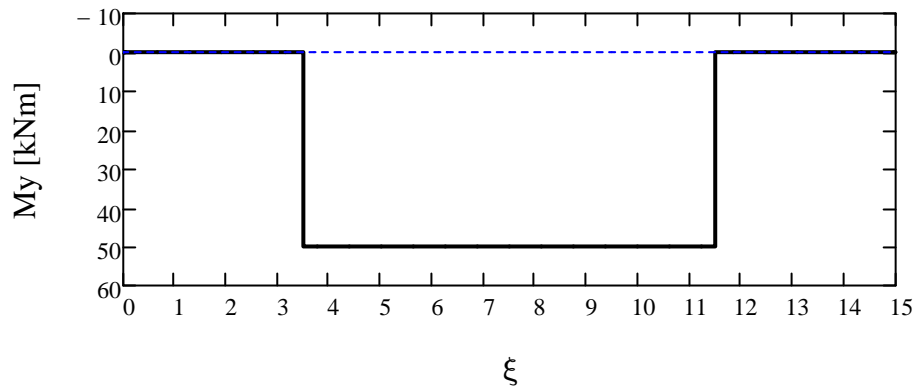
### Momento $M_x$

$$M_x(\xi) := \begin{cases} 0 & \text{if } 0 \leq \xi \leq 3.5 \\ \left[ 40.86 \cdot (\xi - 3.5) - 15 \cdot \frac{(\xi - 3.5)^2}{2} \right] & \text{if } 3.5 \leq \xi \leq 11.5 \\ 25 \cdot \frac{(15 - \xi)^2}{2} - 87.5(15 - \xi) & \text{otherwise} \end{cases}$$



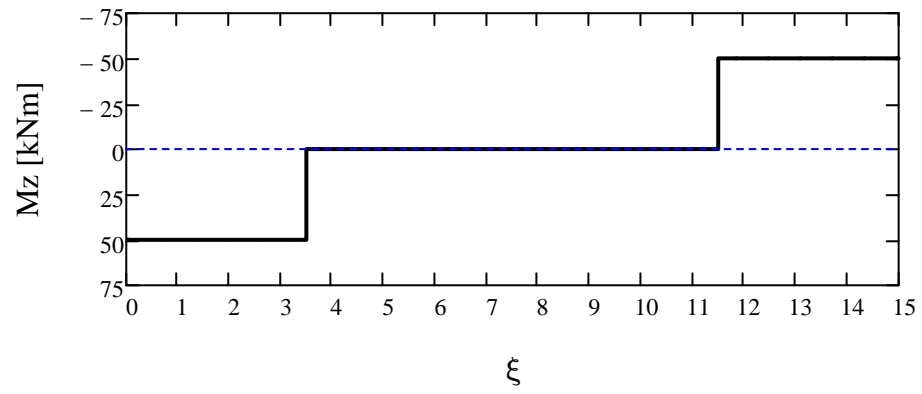
### Momento $M_y$

$$M_y(\xi) := \begin{cases} 0 & \text{if } 0 \leq \xi \leq 3.5 \\ 50 & \text{if } 3.5 \leq \xi \leq 11.5 \\ 0 & \text{otherwise} \end{cases}$$



**Momento  $M_z$**

$$M_z(\xi) := \begin{cases} 50 & \text{if } 0 \leq \xi \leq 3.5 \\ 0 & \text{if } 3.5 \leq \xi \leq 11.5 \\ -50 & \text{otherwise} \end{cases}$$



**Quesito 2b (alternativo al quesito 2a) (Punti 13)**

È data la struttura piana mostrata in Figura 2b.1, composta da un telaio esterno ad "U" e da un elemento scorrevole attraverso una apposita guida.

Si chiede di determinare:

1. le reazioni vincolari, esterne ed interne
2. l'andamento delle caratteristiche di sollecitazione nel telaio esterno ad "U", scrivendone l'espressione analitica in funzione di una opportuna coordinata presa lungo la fibra baricentrica e tracciandone il diagramma

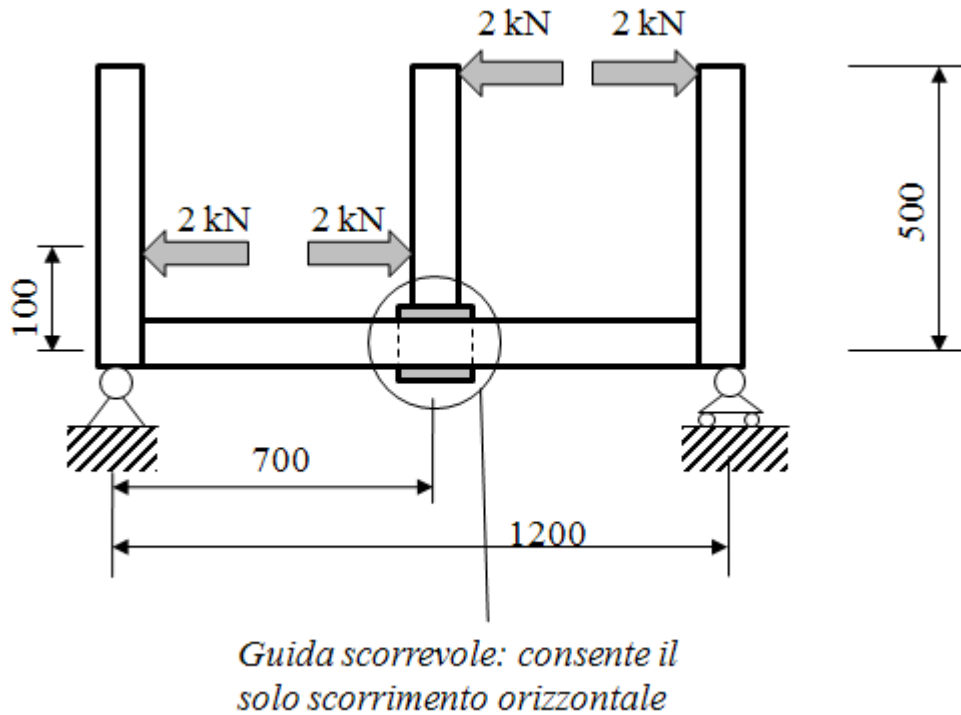
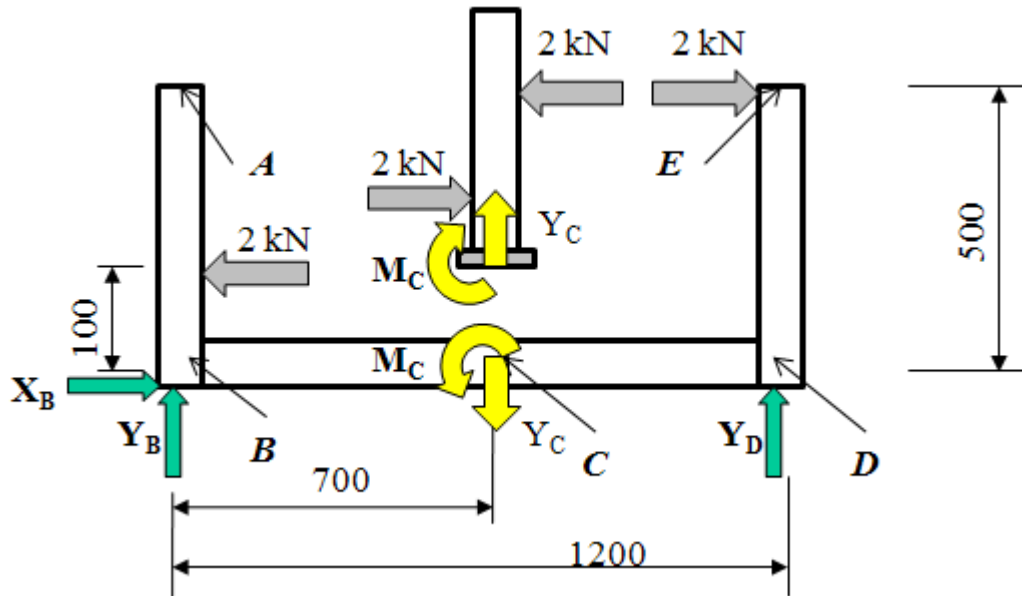


Fig. 2b

## Calcolo delle reazioni vincolari

La struttura è esternamente ed internamente isostatica.

Fissato un SR cartesiano ortogonale, si sostituiscono i vincoli con le 5 reazioni vincolari (3 esterne + 2 interne) incognite, ottenendo il seguente diagramma di corpo libero:



Dalle Equazioni di equilibrio si ottiene (forze in kN, lunghezze in m, momenti calcolati rispetto al polo B):

$$X_B := 0 \cdot \text{kN} \quad Y_B := 0 \quad Y_D := 0 \quad Y_C := 0 \quad M_C := 0$$

### Given

Equilibrio intera struttura

$$R_x = 0 \rightarrow X_B + 2 - 2 + 2 - 2 = 0$$

$$R_y = 0 \rightarrow Y_B + Y_D = 0$$

$$MR_{zB} = 0 \rightarrow Y_D \cdot 1.2 = 0$$

$$\begin{pmatrix} X_B \\ Y_B \\ Y_D \end{pmatrix} := \text{Find}(X_B, Y_B, Y_D)$$

**Given**

Equilibrio asta scorrevole

$R_x = 0 \rightarrow$  Verificato automaticamente

$R_y = 0 \rightarrow Y_C = 0$

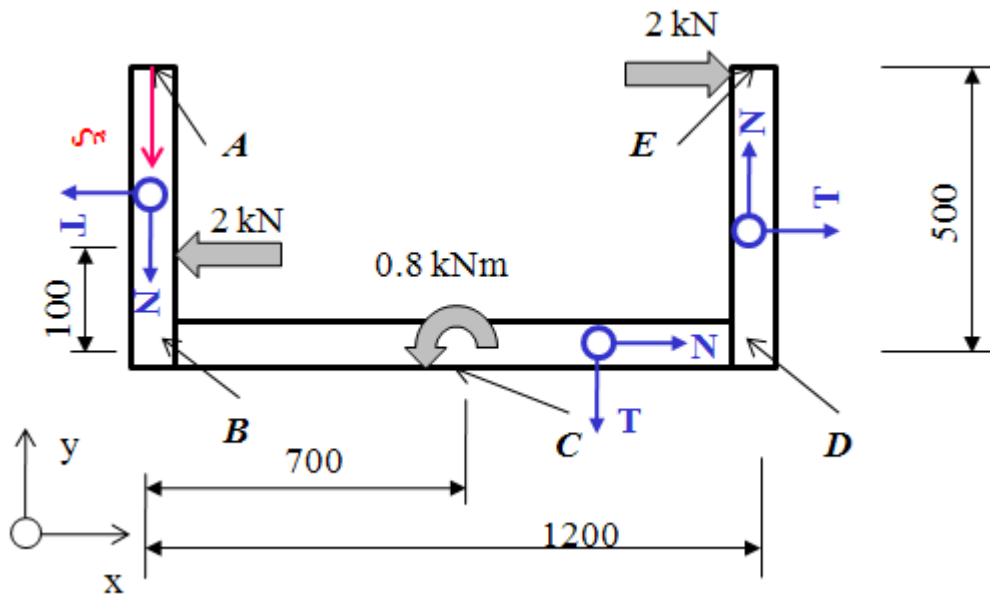
$MR_{zC} = 0 \rightarrow -M_C - 2 \cdot 0.1 + 2 \cdot 0.5 = 0$

$\begin{pmatrix} Y_C \\ M_C \end{pmatrix} := \text{Find}(Y_C, M_C)$

Ottenendo i seguenti valori delle reazioni vincolari (in kN e kNm):

$X_B = 0 \quad Y_B = 0 \quad Y_D = 0 \quad Y_C = 0 \quad M_C = 0.8$

Si ottiene in tal modo il seguente diagramma di corpo libero della struttura, con tutte le forze esterne ed interne applicate.



## DIAGRAMMI CARATTERISTICHE DI SOLLECITAZIONE

Ai fini del tracciamento dei diagrammi delle caratteristiche di sollecitazione, si introduce una coordinata curvilinea  $\xi$  (origine nel punto A, termine nel punto E, valore compreso tra 0 e 2.20 m) e si fissa sulla generica sezione il sistema di riferimento locale N-T per il calcolo della caratteristiche di sollecitazione, la cui disposizione nei diversi tratti di trave è mostrata in figura.

Si noti che, per semplificare la rappresentazione, i diagrammi delle caratteristiche di sollecitazione sono stati rappresentati sotto forma di un diagramma lineare

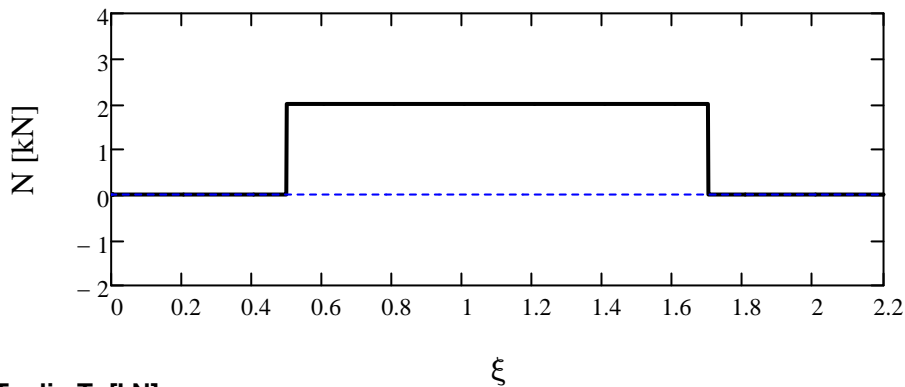
**Forza Normale [kN]**

(questa variabile fittizia ha il solo scopo di far comparire sui

$\xi := 0, 0.001 \dots 2.20$

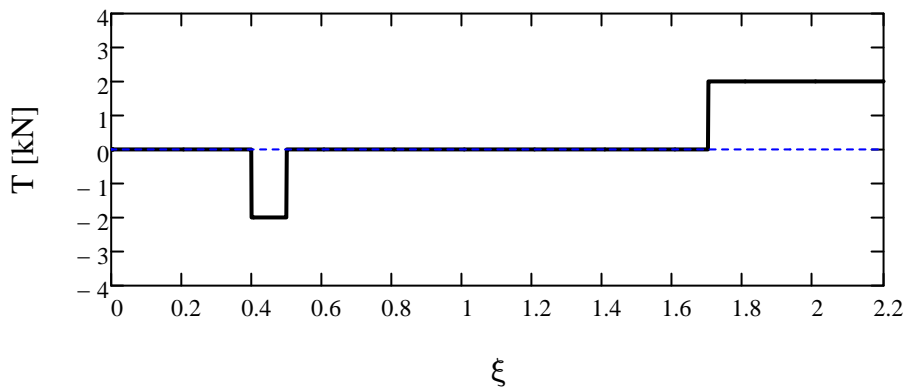
$xx(\xi) := 0$  diagrammi la linea corrispondente al valore 0)

$$N(\xi) := \begin{cases} 0 & \text{if } 0 \leq \xi \leq 0.5 \\ 2 & \text{if } 0.5 \leq \xi \leq 1.7 \\ 0 & \text{otherwise} \end{cases}$$



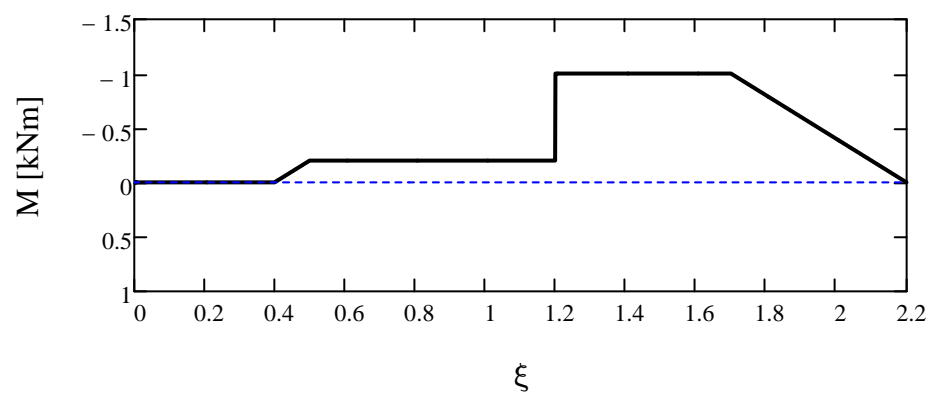
**Taglio T [kN]**

$$T(\xi) := \begin{cases} 0 & \text{if } 0 \leq \xi \leq 0.4 \\ -2 & \text{if } 0.4 \leq \xi \leq 0.5 \\ 0 & \text{if } 0.5 \leq \xi \leq 1.7 \\ 2 & \text{otherwise} \end{cases}$$



### Momento M [kNm]

$$\mathbf{M}(\xi) := \begin{cases} 0 & \text{if } 0 \leq \xi \leq 0.4 \\ -2 \cdot (\xi - 0.4) & \text{if } 0.4 \leq \xi \leq 0.5 \\ -2 \cdot 0.1 & \text{if } 0.5 \leq \xi \leq 1.2 \\ -2 \cdot 0.1 - 0.8 & \text{if } 1.2 \leq \xi \leq 1.7 \\ -2 \cdot (2.2 - \xi) & \text{otherwise} \end{cases}$$





**Quesito 3 (Punti 4)**

Data la sezione a "doppio T" con rotaia mostrata in Fig. 3,:

1. determinare la posizione del baricentro "G"
2. determinare i momenti di inerzia rispetto ai due assi centrali principali.

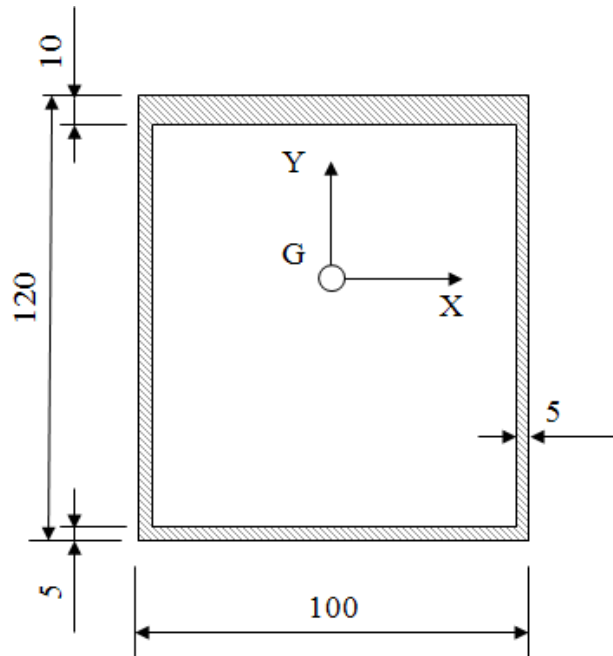
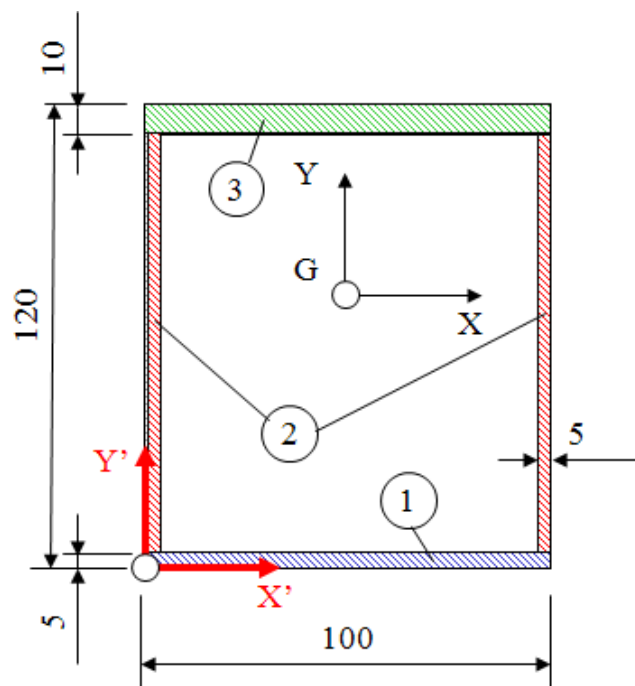


Fig. 3

**Posizione del baricentro.**

Fissato un SR "X'-Y'", si vede subito che, in esso la coordinata X' del baricentro è pari a 50 per simmetria.



Per il calcolo della posizione lungo l'asse Y' si procede considerando il contributo delle diverse aree colorate riportate nella figura.

$$A := 120 \cdot \text{mm} \cdot 100 \cdot \text{mm} - 105 \cdot \text{mm} \cdot 90 \cdot \text{mm}$$

Area totale

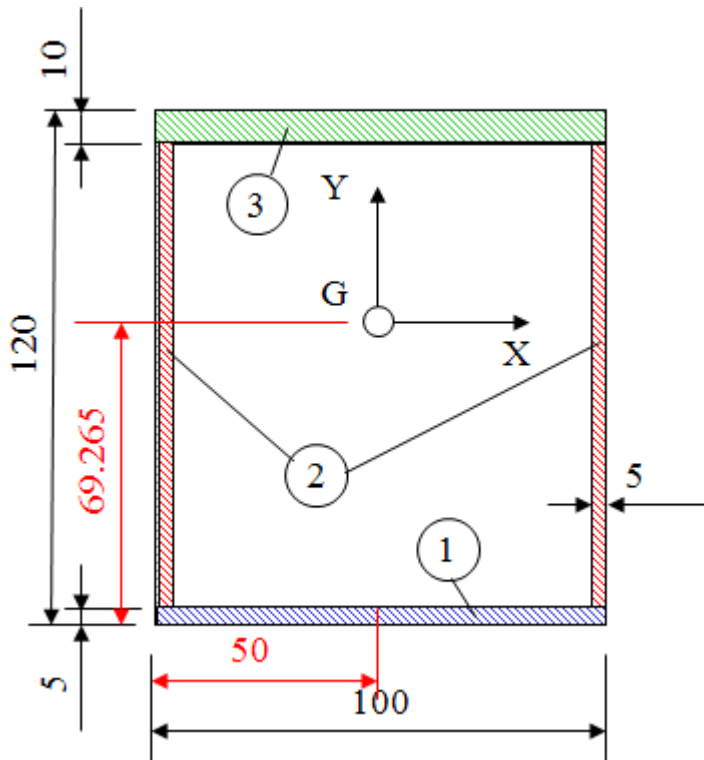
$$A = 2.55 \times 10^3 \cdot \text{mm}^2$$

$$S_G := 10 \text{mm} \cdot 100 \text{mm} \cdot 115 \text{mm} + 2 \cdot 5 \text{mm} \cdot 105 \text{mm} \cdot \frac{(110 \cdot \text{mm} + 5 \cdot \text{mm})}{2} + 5 \cdot \text{mm} \cdot 100 \cdot \text{mm} \cdot 2.5 \cdot \text{mm}$$

$$Y_G := \frac{S_G}{A}$$

$$Y_G = 69.265 \cdot \text{mm}$$

La posizione del baricentro risulta pertanto quella riportata nella seguente Figura.



### **Momenti di inerzia**

Gli assi centrali principali risultano, per simmetria, quelli indicati nella Figura precedente. Nel calcolo dei momenti di inerzia si considera separatamente il contributo delle diverse aree individuate nella Figura stessa.

#### Calcolo di $J_x$

$$J_{x1} := \frac{100\text{mm} \cdot (5\text{mm})^3}{12} + 100\text{mm} \cdot 5\text{mm} \cdot \left( Y_G - \frac{5\text{mm}}{2} \right)^2$$

$$J_{x2} := \frac{5\text{mm} \cdot (105\text{mm})^3}{12} + 5\text{mm} \cdot 105\text{mm} \cdot \left[ Y_G - \frac{(110\text{mm} + 5\text{mm})}{2} \right]^2$$

$$J_{x3} := \frac{100\text{mm} \cdot (10\text{mm})^3}{12} + 100\text{mm} \cdot 10\text{mm} \cdot \left[ \frac{(120\text{mm} + 110\text{mm})}{2} - Y_G \right]^2$$

$$J_x := J_{x1} + 2J_{x2} + J_{x3}$$

$$J_x = 5.44 \times 10^6 \cdot \text{mm}^4$$

#### Calcolo di $J_y$

$$J_{yA} := \frac{120\text{mm} \cdot (100\text{mm})^3}{12}$$

$$J_{yB} := \frac{105\text{mm} \cdot (90\text{mm})^3}{12}$$

$$J_y := J_{yA} - J_{yB}$$

$$J_y = 3.621 \times 10^6 \cdot \text{mm}^4$$

#### Quesito 4 (Punti 5)

Calcolare le tensioni normali e tangenziali massime (valore assoluto, espresse in MPa) mostrarne l'ubicazione per la sezione mostrata nella Figura 3, soggetta alle seguenti caratteristiche di sollecitazione:

$$M_x := 25 \cdot \text{kN} \cdot \text{m}$$

$$M_y := 10 \cdot \text{kN} \cdot \text{m}$$

$$M_z := 80 \cdot \text{kN} \cdot \text{m}$$

$$T_x := 120 \cdot \text{kN}$$

#### Momento $M_x$

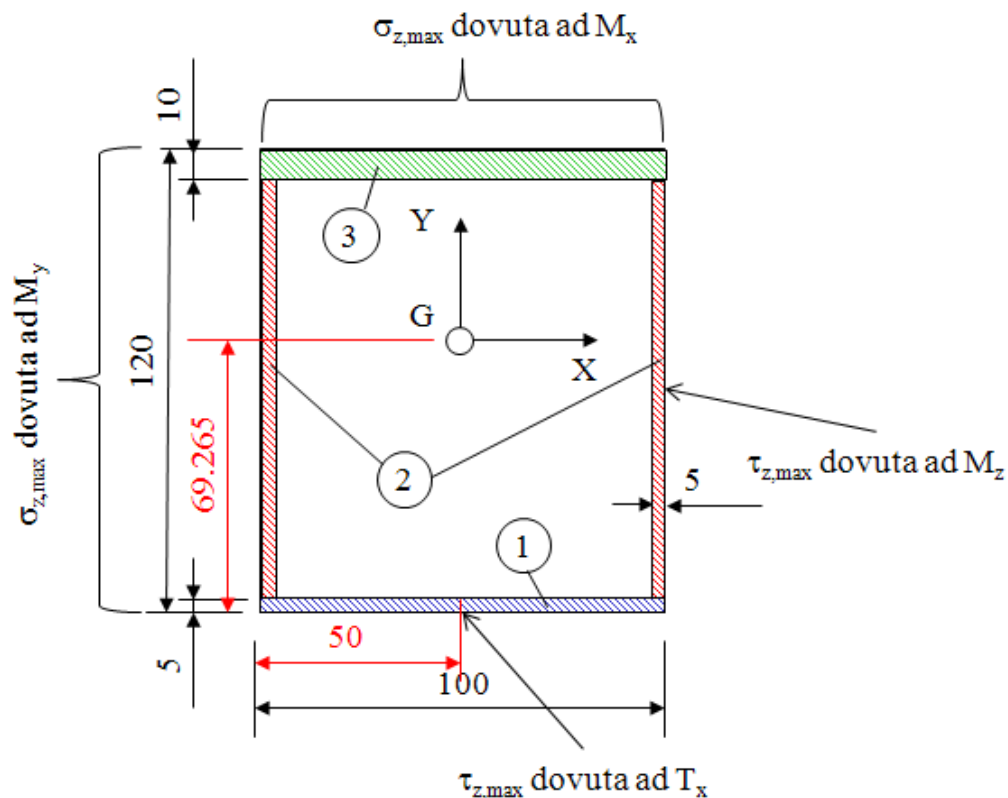
Si applica la formula di Navier, la massima tensione (valore relativo) si verifica nel punto della sezione a maggiore distanza positiva dall'asse X (bordo superiore).

$$y_{\max} := 120 \cdot \text{mm} - Y_G$$

$$y_{\max} = 50.735 \cdot \text{mm}$$

$$\sigma_{z\max} := \frac{M_x}{J_x} y_{\max}$$

$$\sigma_{z\max} = 233.164 \cdot \text{MPa}$$



### Momento $M_y$

Si applica la formula di Navier, la massima tensione (valore relativo ed assoluto) si verifica nel punto della sezione a maggiore distanza negativa dall'asse Y.

$$x_{\max} := -50 \cdot \text{mm}$$

$$\sigma_{z\max y} := -\frac{M_y}{J_y} x_{\max} \qquad \sigma_{z\max y} = 138.074 \cdot \text{MPa}$$

### Momento $M_z$

Si applica la formula di Bredt. La massima tensione si verifica in tutta la zona nella quale lo spessore è minimo.

$$\Omega := 95 \cdot \text{mm} \cdot 112.5 \cdot \text{mm} \qquad s_{\min} := 5 \cdot \text{mm}$$

$$\tau_{\max} := \frac{M_z}{2 \cdot \Omega \cdot s_{\min}} \qquad \tau_{\max} = 748.538 \cdot \text{MPa}$$

### Taglio $T_x$

Si usa la formula di Jourawsky, calcolando il valore del momento statico in corrispondenza dell'asse "Y", dove la tensione assume valore massimo.

$$S_{yA} := 120 \cdot \text{mm} \cdot 50 \cdot \text{mm} \cdot \frac{50 \cdot \text{mm}}{2}$$

$$S_{yB} := 105 \cdot \text{mm} \cdot 45 \cdot \text{mm} \cdot \frac{45 \cdot \text{mm}}{2}$$

$$b := 10 \text{mm} + 5 \text{mm}$$

$$S_y := S_{yA} - S_{yB} \qquad S_y = 4.369 \times 10^4 \cdot \text{mm}^3$$

$$\tau_{zx} := \frac{T_x \cdot S_y}{J_y \cdot b} \qquad \tau_{zx} = 96.514 \cdot \text{MPa}$$